



Kianifar_arman@yahoo.com

مهندس آرمان کیانی‌فر،
نویسنده‌ی اول مقاله، دانشگاه
آزاد اسلامی واحد کرمانشاه

اثر نسبت CeO_2 بر رفتار خوردگی پوشش نانو ساختار $\text{CeO}_2\text{-TiO}_2$

آرمان کیانی‌فر^۱، دکتر علی محمد رسیدی^{۲}

^۱ گروه مواد، واحد کرمانشاه، دانشگاه آزاد اسلامی، کرمانشاه، ایران

^۲ گروه مواد، واحد علوم و تحقیقات کرمانشاه، دانشگاه آزاد اسلامی، کرمانشاه، ایران

چکیده: هدف از انجام این پژوهش بررسی تأثیر میزان غلظت سریم بر رفتار خوردگی نانو پوشش $\text{CeO}_2\text{-TiO}_2$ بر روی زیرلایه فولاد زنگ نزن 316L بود. نانو لایه‌های $\text{CeO}_2\text{-TiO}_2$ با نرخ‌های مولی متفاوت Ce/Ti و به روش پوشش‌دهی غوطه‌وری آماده شدند. آزمون‌های الکتروشیمیایی از پوشش‌های آماده شده در محلول رینگر انجام شد. مشخص شد که غلظت بسیار بالا و غلظت بسیار پایین سریم باعث کاهش ممانعت کنندگی خوردگی در ماتریس سل-ژل می‌شود. همچنین نتایج آزمون پلاریزاسیون تایید کرد که مقاومت به خوردگی پوشش‌ها در آغاز افزایش یافت و سپس با افزایش غلظت سریم کاهش یافت. از سوی دیگر، نتایج آزمون اشعه-X نشان داد که با افزایش غلظت سریم نیترات در محلول سل، نانو پوشش‌ها و نانو ذرات به صورت مغز-پوسته $\text{CeO}_2\text{-TiO}_2$ به دست آمدند که CeO_2 به صورت پوسته و TiO_2 به صورت مغزه بود.

کلمات کلیدی: پوشش‌های $\text{CeO}_2\text{-TiO}_2$ ، پوشش‌دهی غوطه‌وری، مغز-پوسته، مقاومت به خوردگی، محلول رینگر.

۱- مقدمه

همان‌گونه که می‌دانیم در فرآیند سل-ژل پوشش‌های کریستالی یا آمورف را می‌توان در دماهای پایین به وسیله یک آلکوکسید فلزی تهیه کرد. خواص نوری و دیگر خواص فیلم‌های نازک را می‌توان به آسانی به وسیله تغییر حالت‌های شیمیایی و فیزیکی در طی فرآیند سل-ژل کنترل کرد [1]. فلزاتی مانند آهن، آلومینیوم، مس و آلیاژ‌های منیزیم موادی هستند که به علت خواص فیزیکی‌شان معمولاً در صنایع معدنی، نفتی، ساختمانی، خودروسازی و هوافضا به کار برده می‌شوند، اما آنها بیشترین مقاومت به خوردگی را در محیط‌های مهاجم و خودشان نشان می‌دهند. پوشش‌های کروماته به طور گسترده‌ای در صنایع جهت افزایش مقاومت به خوردگی فلزات و آلیاژها استفاده می‌شود، اما یون شش ظرفیتی کروم (Cr^{+6}) موجود در این فرآیند به علت سلطان‌زا بودن و آسیب‌های زیست‌محیطی به شدت سمی هستند. پوشش‌های سرامیکی سنتز شده از روش سل-ژل کاملاً پاکیزه و دوست‌دار محیط‌زیست می‌باشند و به عنوان یک پوشش محافظ برای فلزات و آلیاژها در محیط‌های مهاجم در نظر گرفته شده‌اند [2]. سریا (اکسید سریم، CeO_2) دارای کاربردهای بسیار مهمی می‌باشد، که این اساساً به خاطر خاصیت بی‌همتایش در اکسایش ($\text{Ce}^{3+} \leftrightarrow \text{Ce}^{4+}$) می‌باشد [3]. حرکت کاتیونی و آئیون در سریا ممکن است بسته به غلظت و شعاع یونی در یون‌های دوپانت شده متفاوت باشد [4]. دی‌اکسید تیتانیوم در طبیعت به سه گونه‌ی کریستالی متفاوت وجود دارد: آناتاز، روتایل و بروکیت [5,6]. دی‌اکسید تیتانیوم به علت غیرسمی بودن، پایداری شیمیایی و هزینه پایین به صورت گسترده‌ای برای کاتالیست‌ها، سطوح خود تمیزشونده، انرژی برای پیل‌های سوخت، مواد الکتروودی برای باتری‌های لیتیومی، پوشش‌های آنتی‌رفلکس، پوشش‌های مقاوم به خوردگی، سنسورهای گازی، شیشه‌های فتوکرومیک و دیگر کاربردها به کار گرفته می‌شود [7,8]. در سال‌های اخیر، خواص حافظتی اکسیدهای خاص همچون TiO_2 , SiO_2 و Al_2O_3 به صورت ترکیب شده یا جداگانه، مورد بررسی قرار گرفته‌اند. سنجش‌های الکتروشیمیایی مبنی بر ارزیابی خواص محافظتی این فیلم‌ها انجام شده است. در مطالعات انجام شده اثر کاربردی پوشش‌های اکسیدی بر روی زیرلایه فولاد

زنگ نزن L316، آلیاژهای آلومینیوم و کامپوزیت‌های فلزی بررسی شد [9]. سریم نیترات به عنوان یک ممانع کنندهٔ خوردگی در محیط‌های مهاجم مایع استفاده می‌شود. به طور کلی پذیرفته شده است که یون‌های سریم منجر به رسوب اکسیدهای سریم یا هیدروکسیدها می‌شود که باعث متوقف شدن واکنش‌های خوردگی در عیوب می‌شود و فیلم‌های به دست آمده از فرآیند سل-ژل می‌تواند مقاومت به خوردگی خوبی از خود نشان دهد [10]. سنتر فیلم‌های سریما/تیتانیا به روش سل-ژل عموماً به وسیله نمک سریم و آلكوکسید تیتانیوم اینجا می‌گیرد، مانند تیتانیوم ایزوپروپوکساید که به عنوان آغازگر استفاده می‌شود [11,12]. به خاطر هیدرولیز شدید آلكوکسید تیتانیوم، سنتر نیازمند کنترل بالایی جهت به دست آوردن یک ژل همگن می‌باشد تا از رسوب و آکلورمه شدن جلوگیری به عمل آید. اصلاح شیمیایی آغازگر آلكوکسید تیتانیوم با یک لیگاند چنددانه عموماً در رسیدن به این هدف موثر است. یکی از متداول‌ترین مواد استیل استون (acac) است که از هیدرولیز Ti از طریق تشکیل پیوندهای Ti-acac کمتر از ۱۳٪ پذیر می‌شود [13]، اصولاً اسید استیک در سنتر به کار گرفته می‌شود [11,12]. اضافه کردن نمک‌های سریم به محلول سل‌واکنش پذیر می‌شود [14]، اما زیان‌هایی به دنبال دارد، چون استیل استون پس از عملیات حرارتی مواد پوشش را ترک می‌کند و فازهای کربناته از خود به جای می‌گذارد که این می‌تواند عملکرد و شفافیت پودرها را تحت تاثیر قرار دهد. سریما/تیتانیا می‌تواند به صورت سیستم Ce-Ti-O از طریق فرآیند سل-ژل به دست آید [14]. همچنین، حضور کاتیون‌های نوع TiO^{+4} یا CeO^{+4} در شبکه دیگر اکسیدها (CeO_2 یا TiO_2) هنوز یک پرسش است. دو اکسید اساساً به خاطر ساختار بلوری متفاوت و اندازه کاتیونی متفاوت نسبت به هم تقارن ندارند (بر حسب آنگستروم). از این‌رو، برخی از پژوهشگران ادعا می‌کنند که قرار دادن سریم در شبکه TiO_2 به علت اندازه‌های متفاوت بعید است، در عوض جایگزینی غلظت‌های کم Ti^{+4} در CeO_2 امکان‌پذیر است [15]. اما برخلاف این، برخی از نویسندها ادعا می‌کنند که یون‌های سریم می‌توانند به شبکه‌ی تیتانیا وارد شوند [16]. بررسی‌های اندکی در مورد اثر غلظت سریم بر خواص پوشش‌ها و در نهایت دستیابی به نانومواد مغز-پوسته گزارش شده است. در این مقاله به بررسی رفتار خوردگی نانو فیلم نازک که به روش سل-ژل سنتز شده است و همچنین اثر غلظت سریم نیترات در این نانو فیلم‌ها پرداخته می‌شود.

۲- مواد و روش‌ها

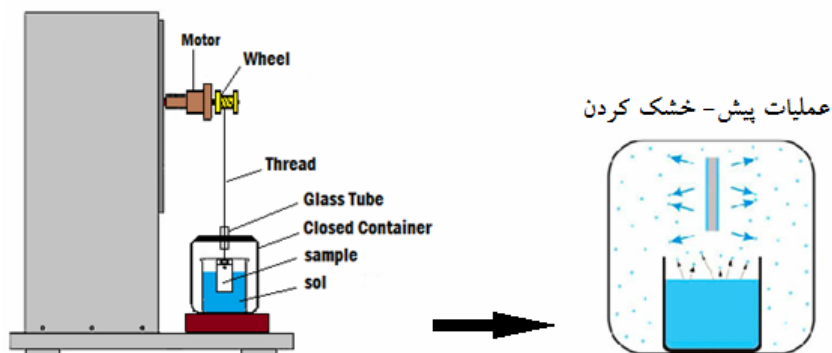
در این پژوهش به منظور تهیه سل ابتدا با استفاده از مواد آغازگری همچون اسید استیک گلاسیال (با خلول ۱۰۰ درصد، محصول پتروشیمی فن‌آوران ماهشهر، ایران)، سریم نیترات هگزاہیدرات (سیگما آلدربیج با خلوص ۱۰۰ درصد)، تیتانیوم تترا ایزوپروپوکساید (TTIP) مرک با خلوص بیش از ۹۸ درصد)، الكل ۲-پروپانول (مرک با خلوص بیش از ۹۹ درصد) و آب بدون یون تهیه شد. نسبت مولی مواد آغازگر سل که شامل اسید استیک، سریم نیترات، TTIP، ۲-پروپانول و آب بدون یون بود، به ترتیب ۷,۱,۱,۱ و ۱۴۰ می‌باشد. پنج نمونه متفاوت با نسبت‌های دقیق استوکیومتری آماده شد، اما به جز میزان سریم نیترات، همه‌ی مولفه‌ها در همه‌ی نمونه‌ها میزانی یکسان داشتند و تنها میزان سریم نیترات بالا می‌رفت. نمونه‌ها به صورت A1, A2, A3, A4 و A5 نام‌گذاری شدند.

برای نمونه A1 در ابتدا در یک ظرف جداگانه یک گرم نمک سریم نیترات در آب بدون یون با نسب مولی ۱:۱۴۰ حل شد. در ظرفی دیگر سل تیتانیا با نرخ‌های مولی نهایی از اسید استیک: TTIP : ۲-پروپانول به ترتیب: ۷:۱:۱ تهیه شد. به این صورت که ابتدا اسید استیک و TTIP با هم مخلوط و اندکی همزده شدند. سپس در یک ظرف حاوی آب+بیخ+نمک (دمای -10°C) به مدت ۳۰ دقیقه نگه داشته شد. پس از گذشت مدت زمان لازم و در همان شرایط دمایی الكل ۲-پروپانول به ظرف اضافه شد، تا هیدرولیز جزیی شود و نیز مانع از واکنش شدید TTIP و آب شود که در مرحله پایانی به مخلوط اضافه می‌شود. در مرحله پایانی هر دو سل با هم مخلوط شده و به مدت ۲۰ دقیقه همزده شدند. در نهایت یک سل شفاف و بی‌رنگ به دست آمد. زمان تهیه سل تقریباً ۵۰ دقیقه بود و میزان pH برای همه نمونه‌ها برابر $2/75$ بود. با افزودن آب به مخلوط هیدرولیز در سرتاسر مخلوط صورت می‌پذیرد که این نوع واکنش شروع واکنش سل-ژل است. این نمونه از سل تا سه ماه پایدار بود اما دیگر نمونه‌ها با افزایش غلظت سریم نیترات در آنها پایداری خودشان را پس از گذشت یک هفته از دست می‌دادند. واکنش هیدرولیز با افزایش

آب و جانشین شدن گروههای آلکوکسی (OR) با گروههای OH انجام می‌گیرد. سپس واکنش تراکمی پی در پی میان گروههای Ti-OR و Ti-O-Ti به همراه محصولات جانبی الکل و آب تولید می‌شوند.

۳- روش آماده‌سازی نانو فیلم‌ها

در این پژوهش از پیش‌ماده آلکوکسید تیتانیوم استفاده شد، چون این پیش‌ماده‌ها شامل گروههای هیدروکربنی زنجیره بلند آبگریز هستند و تشکیل ژلهای بدون تخلخل را توسعه می‌دهند و فیلم‌های نهایی به خواص خوبی دست خواهند یافت [16]. از پنج تکه فولاد زنگ نزن با ابعاد 3×2 سانتی‌متر به عنوان زیرلايه برای پوشش دهی استفاده شد. از آنجا که فولاد زنگ نزن L316 سطح آن توسط سرامیک کروم CeO_3 پوشیده شده است و دارای اختلاف ضریب انبساط حرارتی کم با اکسید تیتانیوم است، در نتیجه به دست آوردن پوشش نهایی با همگنی و یکنواختی بالا بر روی این فولاد نسبت به فلزات دیگر مثل فولاد ساده کربنی راحت‌تر است و تحت ضخامت‌های کمتر می‌توان به این همگنی در ابعاد نانومتری، دست یافت [17]. زیرلايه‌ها پس از پولیش و پرداخت نهایی در استون چربی‌گیری و در پایان با آب و صابون شسته شدند. پس از تهیه سل‌ها برای این‌که واکنش در آمها کامل شود به مدت یک ۲۴ ساعت پیر شدند سپس بر روی سطح فولاد L316 پرداخت شده سه مرتبه رسوب داده شدند. پوشش دهی به روش غوطه‌وری بود که در یک ظرف در بسته انجام گرفت (شکل ۱). زمان مناسب برای غوطه‌وری به اندازه‌ای می‌باشد که تعادل حرارتی برقرار بشود و همچنین اغتشاش ایجاد شده در هنگام فرآیند غوطه‌وری آرام و فرو بنشیند. سپس نمونه با سرعت ثابت از محلول بیرون آورده می‌شود و در فاصله مناسبی از بالای محلول نگه داشته می‌شوند تا خشک بشوند.



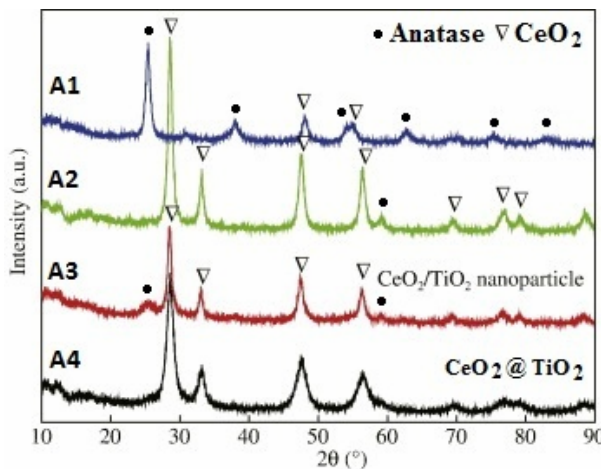
شکل ۱- عملیات پوشش دهی و پیش-خشک کردن در یک ظرف در بسته.

با توجه به شکل ۱ مرحله پیش-خشک کردن در دمای اتاق در فشار بخار اشباع شده از محلول آغازگر و تحت فشار بخار تعادلی از محلول آغازگر انجام می‌شود، که منجر به تبخیر بسیار آهسته حلال پس از رسوب فیلم می‌شود. فرآیند تبخیر از محلول درون ظرف بسته تا زمانی ادامه پیدا خواهد کرد تا مولکول‌هایی که از محلول اولیه فرار کرده‌اند به آن محلول بازگردند. این شرایط به طور قابل توجهی سرعت تبخیر حلال را کاهش می‌دهد و بر این اساس کاهش تنش ناشی از حفره‌های انقباضی را به دنبال خواهد داشت [18]. پس از پایان این مرحله نمونه‌ها در آون برقی به مدت ۲ ساعت و در دمای 100°C پخته شدند. سپس به منظور پخت نهایی در دمای 700°C آبیل شدند.

۴- آنالیز XRD از نانو کامپوزیت $\text{CeO}_2\text{-TiO}_2$

چهت شناسایی ترکیب فازی محصول حاصل شده، از دستگاه دیفراکتومتر اشعه ایکس مدل (Philips PW1730) با پرتو $\text{CuK}\alpha$ و طول موج $1/540.5$ آنگستروم، زاویه $(2\theta=90^{\circ}-10^{\circ})$ ، گام 0.04° و با نرخ روبش $0/05^{\circ}\text{min}^{-1}$ استفاده شد. با توجه به نمودار اشعه ایکس کاملاً پیدا است که در نمونه‌های A1، A2 و A3 ترکیبی از اکسیدها سریم و تیتانیوم در کنار یکدیگر کمابیش وجود دارند، اما در نمونه اولی بعده این که غلظت Ce/Ti به صورت ۱:۱ است پیک‌های آنها در نمودار برابر است. اما با افزایش غلظت CeO_2 در نمودارهای بعدی پیک مربوط به تیتانیا محو شده و کمتر به چشم می‌خورد، بهطوری که در نمودار A4

تنها پیک‌های CeO_2 دیده می‌شوند که این نشان دهنده تشکیل نانو ذارت مغز-پوسته $\text{CeO}_2\text{-TiO}_2$ می‌باشد. به خاطر اختلاف زیاد در ساختار بلوری CeO_2 و TiO_2 ، اکسید سریم به سختی در شبکه اکسید تیتانیوم قرار می‌گیرد. همچنین با توجه به الگوی پراش اشعه ایکس دیده می‌شود که واقعًا Ce جانشین اتم Ti در شبکه TiO_2 نمی‌شود. اما فیلم کامپوزیت شده ترکیبی از فازهای اصلی CeO_2 و TiO_2 و فازهای $\text{CeO}_{1.6}2\text{TiO}_2$ می‌باشد که این فاز از طریق واحدهای ساختاری $\text{Ti}-\text{O}-\text{Ce}$ در فصل مشترک CeO_2 و TiO_2 ترکیب می‌شوند و به صورت یک پل ارتباطی میان شبکه‌های آنها به کار گرفته می‌شود [19]. در نمونه‌های با غلظت بالاتر سریم حضور Ce^{4+} غالبه است و با افزایش دما میزان Ce^{4+} زیاد می‌شود. همچنین شدت پیک با افزایش غلظت سریم افزایش می‌یابد و اندازه دانه‌ها درشت‌تر می‌شود. تمایل به انباستگی با افزایش میزان سریم در کامپوزیت کاهش می‌یابد و تمایل به کریستال شدن در همان زمان افزایش پیدا می‌کند. در سیستم دوتایی $\text{CeO}_2\text{-TiO}_2$, در سطح پایین سریم، حالت ظرفیتی ترجیحی سریم به صورت Ce^{3+} می‌باشد [20]. وقتی که TiO_2 و CeO_2 تنها به صورت فیزیکی با هم مخلوط می‌شوند کریستالیزاسیون زودتر آغاز می‌شود. در نرخ‌های برابر $\text{TiO}_2\text{-CeO}_2$ مشاهده شده که مقداری از آغازگر سریم نیترات زمانی که آکلوکسید تیتانیوم به صورت کامل استحاله پیدا می‌کند هنوز بدون واکنش باقی می‌ماند و به طور جداگانه به CeO_2 واکنش می‌دهد [21].



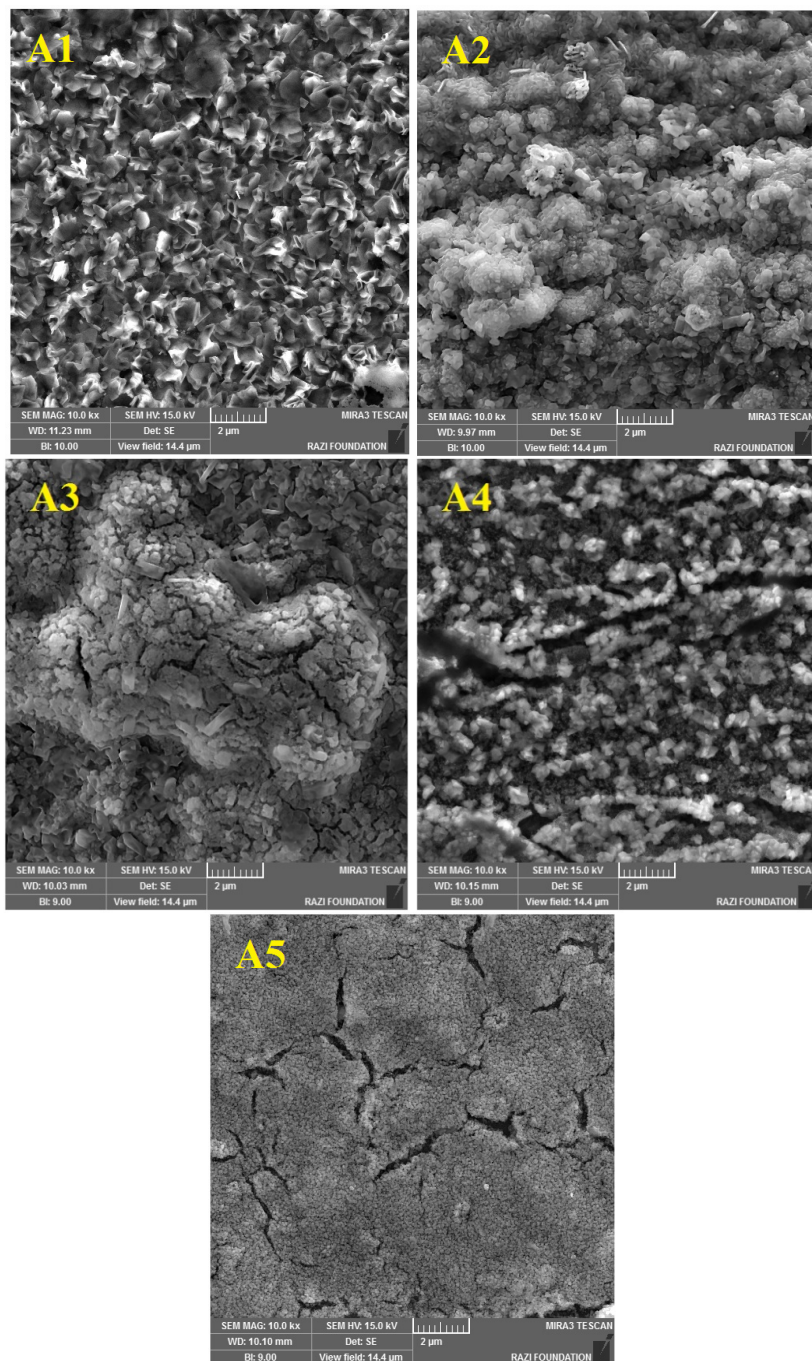
شکل ۲- نمودار XRD از چهار نمونه کلسینه شده در دمای 700°C به مدت یک ساعت.

۵- آنالیز SEM

شکل ۳ مورفولوژی و ریزساختارهای به دست آمده از نانو پوشش $\text{CeO}_2\text{-TiO}_2$ توسط میکروسکوپ SEM MIRA3 TESCAN را با غلظت‌های مختلف CeO_2 نشان می‌دهد. اما همان‌گونه که از تصاویر SEM مشخص است با استفاده از روش کنترل شده در خشک کردن دست‌کم از به وجود آمدن عیب ترک خودگی در چند پوشش اولی جلوگیری به عمل آمده است و پوشش نهایی فاقد ترک می‌باشد. می‌توان گفت با افزایش غلظت سریم، محلول به صورت فوق‌اشباع در آمده و تعداد مراکز جوانه‌زنی برای افزایش می‌یابد و با توجه به نمودار اشعه ایکس نانو ذارت مغز-پوسته $\text{CeO}_2\text{-TiO}_2$ به وجود می‌آیند که CeO_2 به شکل پوسته تشکیل می‌شود. از این‌رو، CeO_2 دارای اختلاف ضریب انبساط حرارتی خیلی زیاد با زیرلايه که از جنس فولاد زنگ نزن است که به نوعی خود پوشش را مستعد به ترک می‌کند. از سوی دیگر دیده می‌شود که یک سری جزایر یا آگلومرهای در سطح پوشش وجود دارد که این می‌تواند به خاطر نقص روش پوشش‌دهی غوطه‌وری باشد که دوری از آن اجتناب ناپذیر است. آگلومره شدن مکانیزمی است که از طریق آن ذرات جامد با تشکیل یک باند فیزیکی که پل‌های کریستالی نامیده می‌شوند با هم برخورد کرده و به هم می‌چسبند. این مکانیزم اصولاً در سه مرحله رخ می‌دهد [22]:

- نزدیک شدن ذرات به هم ناشی از حرکت براوانی یا واکنش هیدرودینامیک.
- برخورد ذرات به هم به خاطر نیروی الکترواستاتیک.
- ایجاد پل کریستالی ناشی از رشد بلور.

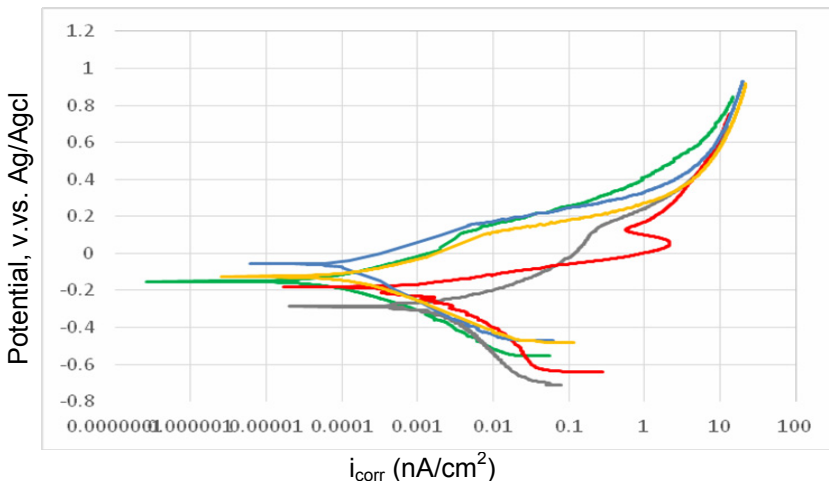
مراحل هسته‌زایی، رشد از گام‌های اصلی سنتزهای رسوبی هستند. فوق‌اشباعیت عامل اصلی در این فرآیندها است. همچنین فرآیندهای ثانویه‌ای بازپخت و کلسینه کردن می‌توانند منجر به کلخه‌ای شدن (تجمع) و رشد ناخواسته اندازه ذرات شوند. همچنین، کاهش خصامت پوسته‌ی CeO_2 موجب افزایش پدیده‌ی انحلال هسته و همچنین افزایش آگلومراسیون ذرات گردد [23]. قابلیت جوانه‌زنی به شدت به زاویه تماس بستگی دارد و برای سهولت جوانه‌زنی، به زاویه تماس کوچکی نیاز است که این امر توسط برجستگی‌هایی که بر روی سطح زیرلایه در حین پرداخت و آماده‌سازی ایجاد شده‌اند تأمین می‌شود. شواهد نشان می‌دهد که وقتی پارامترهای شیمیایی کریستال (نوع و نیروی بیوند) و سطح جسم خارجی مشابه باشند عدم تطابق شبکه این دو جسم از ماهیت زیادی برخوردار می‌گردد [24]. کنترل دقیق متغیرهای سنتز و همچنین استفاده از عوامل پایدارکننده می‌تواند کیفیت محصول نهایی را بالا ببرد. در تصاویر میکروسکوپی (به جز دو نمونه آخری) دانه‌های مکعبی CeO_2 و دانه‌های کشیده آناتاز در TiO_2 قابل مشاهده است.



شکل ۳ - تصاویر SEM از سطح نانو فیلم‌ها پس از عملیات حرارتی در دمای 700°C

۶- آزمون خوردگی

برای انجام تست‌ها، 1cm^2 سطح نمونه‌ها به عنوان سطح در معرض محلول در نظر گرفته شد و بقیه سطوح با لاک پوشیده شدند. سپس هر یک از نمونه‌ها به صورت جداگانه در یک سل سه الکترودی داخل الکتروولیت قرار گرفت. نمونه به عنوان الکترود کاری بوده و از یک الکترود Ag/AgCl اشباع به عنوان الکترود مرجع و یک الکترود پلاتین خنثی هم به عنوان الکترود کمکی استفاده شده. از محلول رینگر به عنوان الکتروولیت استفاده شده است. هر نمونه ابتدا به مدت ۱۵ دقیقه در محلول غوطه‌ور بود و سپس به مدت ۲ دقیقه پتانسیل مدار باز (OCP) آن اندازه‌گیری شد. سپس تست پلاریزاسیون روی آن‌ها انجام شد. همه تست‌ها توسط دستگاه Bio-Logic SAS SP-300 انجام شدند. تست پلاریزاسیون از پتانسیل -400mV تا 1000mV نسبت به OCP و با نرخ 1mV/s انجام گرفت و برای تحلیل نتایج آن از نرم‌افزار Ec-Lab V10.39 استفاده شد.



شکل ۴- نمودار پلاریزاسیون مربوط به نانو پوشش‌های سنتز شده.

با توجه به دیاگرام‌های خوردگی حاصل از آزمون‌های پلاریزاسیون، نتایج متعددی به دست آمد. به طوری که نمونه‌های فولادی پوشش داده شده دارای پتانسیل مثبت‌تر بودند و این حاکی از کاهش جریان اتحال آندیک می‌باشد. در حقیقت نمونه‌های فولادی پوشش داده شده به سمت ناحیه پسیو تغییر جهت می‌دهند.

پوشش‌های تهیه شده با نمک سریم عملکرد پوشش را افزایش داد، که احتمالاً به خاطر شکل گیری Ce(OH)_3 بر روی سطح از یک مکانیزم الکتروشیمیایی همچون واکنش اکسایش-کاهش میان یون‌های کروم و سریم است [23]. به طور کلی نانو پوشش‌ها به صورت یک لایه خازنی، شدت واکنش‌های الکتروشیمیایی و بالتع شدت جریان خوردگی فولاد زنگ نزن را کاهش می‌دهند. به وجود آمدن حالت دی‌الکتریک در فصل مشترک باعث عدم تماس مستقیم فلز پایه با محیط شیبیه‌سازی شده و در نتیجه باعث عدم نفوذ یون‌ها از درون فیلم روئین و رسیدن به سطح فلز پایه می‌گردد. به وجود آمدن حالت دی‌الکتریک در فصل مشترک فیلم-الکتروولیت باعث کاهش میزان جذب اکسیژن به سطح فیلم و همچنین باعث کاهش تمایل واکنش میان فلز پایه با اکسیژن می‌شود. به نظر می‌رسد خیلی پایین بودن و خیلی بالا بودن غلظت سریم منجر به عدم ممانعت کنندگی خوردگی در ماتریس سل-ژل می‌شود و به دنبال آن یک تاثیر ممانت کنندگی ضعیف در پی خواهد داشت. به علاوه، افزایش میزان سریم نیترات باعث ایجاد تخلخل و ترک بیشتر در پوشش‌ها می‌شود و این معایب خواص ممانعت کنندگی در پوشش را کاهش می‌دهند و در نتیجه حفاظت مورد نظر در مواد را کاهش می‌باید.

از سوی دیگر همیشه خواص حفاظت خوردگی متناسب با اضافه کردن میزان سریم نیست. می‌توان به این صورت استنباط کرد که یک غلظت مطلوب برای اثرات سودمند یون‌های سریم بر روی مقاومت به خوردگی وجود دارد. در حالی که در غلظت‌های بالاتر یون‌های سریم در پوشش سل-ژل منجر به تشکیل یک فیلم شکننده با خواص ممانعت کنندگی ضعیف است [25]، که این کاملاً با مقادیر i_{corr} در جدول (۱) مطابقت دارد و همان‌گونه که در جدول مشاهده می‌شود با افزایش بیشتر غلظت سریم شدت جریان و پتانسیل خوردگی کاهش می‌باید و این حالت تا جایی ادامه می‌باید که نسبت بهینه‌ای از سریم اعمال شود. به نظر

می‌رسد افزایش میزان ترک‌ها و نقص در لایه سل‌ژل مسئول این اثرات منفی در پوشش‌ها می‌باشد. همچنین، مقدار چگالی جریان خوردگی نمونه‌های دارای پوشش با افزایش غلظت سریا نسبت به نمونه شاهد روند کاهشی را دنبال می‌کند و از سوی دیگر این روند برای مقادیر پتانسیل خودگی معکوس بوده و افزایش یافته است. این امر نشان دهنده کاهش انجام آندی سطح و افزایش مقاومت به خوردگی سیستم است.

جدول ۱- نتایج حاصل از تست پلاریزاسیون.

R_p	Mpy	$\beta_a(mv)$	$\beta_c(mv)$	E_{corr} (mv vs)	I_{corr} (nA/cm ²)	نمونه‌ها
20/2	۰/۷۸۰۹	۱۰۵/۱	316	-۲۷۸/۲۶	۱/۶۹۵	A1
۲۹/۴	۰/۲۹۲۵	۵۷/۶	۱۷۰/۲	-۱۸۴/۱۶	۰/۶۳۵	A2
۴۰۷/۶	۰/۰۲۹۴	۱۱۲/۳	۱۲۹/۲	-۱۵۱/۱۵	۰/۰۶۴	A3
۵۱/۹	۰/۰۲۴۴	۶/۶	۱۶۱/۹	-۵۶/۱۵	۰/۰۵۳	A4
۱۹۱/۴	۰/۰۶۶۸	۱۰۹/۸	۱۵۳/۱	-۱۲۵/۶۹	۰/۱۴۵	A5
۷۶/۸	۰/۳۷۵	۱۰۲/۵	۲۴۴	-۱۸۴/۰۱	۰/۴۰۸	Ass

۷- نتیجه‌گیری

- با افزایش میزان سریم نیترات در محلول سل پایداری سل‌ها به شدت پایین آمد و در کیفیت فیلم‌های نهایی اثرگذار بود و باعث ایجاد ترک و تخلخل بیشتر در فیلم‌ها شد.
- عملیات پیش-خشک‌کردن برای نمونه‌ها بسیار تاثیرگذار بود و باعث شد میزان ترک در پوشش‌ها به حداقل برسد و در پوشش‌هایی که میزان سریم آنها کمتر بود این عیب کاملاً حذف شد و هیچ ترکی مشاهده نگردید.
- با توجه به ضریب انبساط حرارتی بالای سریم که در طی عملیات حرارتی آشکار شد، مشخص شد که چرا باید یک غلظت بحرانی برای سریم وجود داشته باشد که این عامل احتمال ترک خوردن را برجسته‌تر می‌کند. از سویی، در پوشش‌های نانو ساختار به عنوان فشار ایجاد شده ناشی از برونق رفت بخار ترکیبات معدنی در طی عملیات حرارتی باعث تولید تنش در پوشش می‌شود و افزایش تنش بیش از حد بحرانی باعث تولید ترک‌ها و عیوب در پوشش نهایی می‌شود. بنابراین حضور ترک و عیوب در پوشش نرخ خوردگی را افزایش می‌دهد.
- مشاهده شد که خیلی پایین بودن و خیلی بالا بودن غلظت سریم منجر به عدم ممانعت کنندگی خوردگی در پوشش‌ها می‌شود و به دنبال آن یک تاثیر ممانعت کنندگی ضعیف در پی خواهد داشت. از این‌رو، یک غلظت مطلوب برای اثرات سودمند یون‌های سریم بر روی مقاومت به خوردگی به دست آمد که در نمونه A3 مشاهده شد.

مراجع

- [1] H. Sakamoto, J. Qiu, A. Makishima, Science and Technology of Advanced Materials 4 (2003) 69–76.
- [2] J.B.R. Carvalho, R.S. Silva, I. Cesarino, S.A.S. Machado, K.I.B. Eguiluz, E.B. Cavalcanti, G.R.S. Banda, Ceramics International (2014), <http://dx.doi.org/10.1016/j.ceramint.2014.05.064>.
- [3] B.H. Lee, T. Nakayama, Y. Tokoi, T. Suzuki, K. Niihara, Journal of Alloys and Compounds 509 (2011) 1231–1235.
- [4] Ken'ichi Matsushita, Internal friction in ceria ceramics doped with alkali earth metal oxides, Journal of Alloys and Compounds, 211/212 (1994) 374-377.
- [5] Angela Wong, Walid A.Daoud, Hanhua Liang, Yau Shan Szeto, Materials Letters 117 (2014) 82–85.
- [6] F. SAYILKAN, M. ASILTURK, H.SAYILKAN, Y.ONAL, M. AKARSU, E. ARPAC, Turk J Chem 29 (2005), 697-706.
- [7] M.R. Mohammadi, D.J. Fray, " Nanostructured TiO₂–CeO₂ mixed oxides by an aqueous sol–gel process: Effect of Ce:Ti molar ratio on physical and sensing properties", Sensors and Actuators B 150 (2010) 631–640.
- [8] H. Hassannejad, T. Shahrabi, F. Malekmohammadi, A. Shanaghi, M. Aliofkhazraei, A. Oskuie, Current Applied Physics 10 (2010) 1022–1028.

- [9] S. Li, Q. Wang, T. Chen, Z. Zhou, Y. Wang, J. Fu, "Study on cerium-doped nano-TiO₂ coatings for corrosion protection of 316L stainless steel", 10.1186/1556-276X-7-227, (2012).
- [10] Makishima, M. Asami, K. Wada, J. Non-Cryst. Solids 100 (1988) 321.
- [11] D. Keomany, J.P. Petit, D. Deroo, Sol. Energy Mater. Sol. Cells 36 (1995) 397.
- [12] J. Livage, M. Henry, C. Sanchez, Prog. Solid State Chem. 18 (1988) 259.
- [13] C. Gionco, M.C. Paganini, S. Agnoli, A. Enrico Reeder, E. "Structural and spectroscopic characterization of CeO₂-TiO₂ mixed oxides", Giannello, Journal of Materials Chemistry A. DOI: 10.1039/C3TA12018J, (2013).
- [14] C. Karunakaran, P. Gomathisankar, "Solvothermal Synthesis of CeO₂-TiO₂ Nanocomposite for Visible Light Photocatalytic Detoxification of Cyanide", pubs.acs.org/journal/ascecg., dx.doi.org/10.1021/sc400195n | ACS Sustainable Chem, (2013).
- [۱۵] شانقی، ع، صبور روح قدم، ع.ر، شهرابی، ت، خضرابی، م.ع، "بررسی خواص خودگی پوشش نانوذرات اکسید تیتانیوم اعمال شده بوسیله فرایند سل-ژل بر روی فولاد"، منتشر شده در کنفرانس پتروشیمی ایران ۱۳۷۸.
- [۱۶] کیانی فر، آ، رشیدی، ع.م، "اثر استفاده از دمای سرد در فرایند سل-ژل بر سنتر نانو کامپوزیت CeO₂-TiO₂", فصلنامه سرامیک ایران، شماره ۵۱، پاییز ۱۳۹۶.
- [17] A. Trinch, Y.X. Li ,W. Włodarski, S. Kaciulis, L. Pandolfi, S. Viticoli, E. Comini, G. Sberveglieri, "Investigation of sol-gel prepared CeO₂-TiO₂ thin films for oxygen gas sensing", Sensors and Actuators B: Chemical, Volume 95, Issues 1–3, 15, pp. 145–150, (2003).
- [18] R. Ashiri, "A new sol-gel processing routine without chelating agents for preparing highly transparent solutions and nanothin films: engineering the role of chemistry to design the process", Philosophical Magazine, Vol. 95, No. 1, 1–11, http://dx.doi.org/10.1080/14786435.2014.984005, (2014).
- [19] V. Michael, W. Alexandra, T. Valentin, A. Cristian, W. Matthias, 10-Jun-2009. Journal: Zeitschrift für Anorganische und Allgemeine Chemie. DOI: 10.1002/zaac.200900186, (2009).
- [20] M. Schnebelen, K. Mozet, A. Jakob, D. Sy, E. Plasari, Hervé Muhr, "Crystal Structure Theory and Applications", 4, 35-46. http://dx.doi.org/10.4236/csta.2015.43005, (2015).
- [۲۱] عشیری، ر، نعمتی، ع. "سنتر نانو کریستال‌های بسیار خالص تینات باریم با استفاده از روشی اصلاح شده". فصلنامه فرایندهای نوین در مهندسی مواد، سال ششم، شماره اول، بهار ۱۳۹۱.
- [۲۲] قاسمی پیرانلو، ف، باورسی‌ها، ف، داداشیان، س، "ساخت میکروساختار هسته/پوسته/پوسته Fe₃O₄/SiO₂/TiO₂ و بررسی خواص ساختاری آن"، فرایندهای نوین در مهندسی مواد سال ۱۱، شماره ۴، زمستان ۱۳۹۶.
- [23] Duhua Wang, Gordon. P. Bierwagen, "Sol-gel coatings on metals for corrosion protection", Progress in Organic Coatings 64 (2009) 327-338.
- [۲۴] دیویس، جی، "انجماد و ریخته‌گری"، ترجمه رامین رئیس‌زاده، انتشارات دانشگاه باهنر کرمان، ۱۳۷۸.
- [25] Suning Li, Qian Wang, Tao Chen, Zhihua Zhou, Ying Wang, Jiajun Fu, "Study on cerium-doped nano-TiO₂ coatings for corrosion protection of 316 L stainless steel", Nanoscale Research Letters, 7:227 doi:10.1186/1556-276X-7-227, (2012).